

МИНОБРНАУКИ РОССИИ
САНКТ-ПЕТЕРБУРГСКИЙ ГОСУДАРСТВЕННЫЙ
ЭЛЕКТРОТЕХНИЧЕСКИЙ УНИВЕРСИТЕТ
«ЛЭТИ» ИМ. В.И. УЛЬЯНОВА (ЛЕНИНА)
Кафедра информационной безопасности

ОТЧЕТ
По лабораторной работе № 4
по дисциплине «Криптография и защита информации»
Тема: Исследование шифров DES, 3DES, Магма

Студент гр. 0303

Болкунов В.О.

Преподаватель

Племянников А. К.

Санкт-Петербург

2023

Цель работы.

Цель работы: исследовать шифры DES, 3DES и Магма и получить практические навыки работы с ними, с использованием приложений Cryptool 1/2 и Литорея.

Порядок выполнения работы.

1. Изучить преобразования DES по шаблонной схеме DES Visualisation из CrypTool 2 с учетом рекомендаций Методического пособия (задание на с. 20)
2. Провести исследование DES в режимах работы ECB и CBC, используя CrypTool 1 и с учетом рекомендаций Методического пособия (задание на с. 22 - оценка трудоемкости атаки "грубой силы")
3. Разработать схему в CrypTool 2 для экспериментального определения версии 3-DES.
4. Изучить преобразования шифра Магма с помощью приложения ЛИТОРЕЯ, с учетом рекомендаций Методического пособия (задание на с. 20)
5. Провести исследование шифра Магма в режимах работы простой замены и простой замены с зацеплением, используя приложение ЛИТОРЕЯ и с учетом рекомендаций Методического пособия (задание на с. 21 - шифрование изображения в разных режимах работы)

Выполнение работы.

1. Шифр DES

Были выбраны следующие исходные данные:

- Открытый текст $M = \text{"bolkunov"}$
- Ключ $K = \text{"030304_o"}$

Соответственно их байтовое представление:

- $M_{16} = 62\ 6F\ 6C\ 6B\ 75\ 6E\ 6F\ 76$
- $K_{16} = 30\ 33\ 30\ 33\ 30\ 34\ 5F\ 6F$

1.1.2. Начальное преобразование

Преобразуем блок сообщения к бинарному виду

$M_2 =$

01100010 01101111 01101100 01101011 01110101 01101110 01101111 01101110

←

←

←

Выполним начальную перестановку блока в соответствии с таблицей IP DES

$P_{IP} =$ 58 50 42 34 26 18 10 2 60 52 44 36 28 20 12 4 \\
62 54 46 38 30 22 14 6 64 56 48 40 32 24 16 8 \\
57 49 41 33 25 17 9 1 59 51 43 35 27 19 11 3 \\
61 53 45 37 29 21 13 5 63 55 47 39 31 23 15 7

$M_{IP} =$ 11111111 10010000 11110110 01011010 00000000 11111111 01101110
11101011

Получаем половины начального блока сообщения:

$L_0 =$ 11111111 10010000 11110110 01011010

$R_0 =$ 00000000 11111111 01101110 11101011

1.1.3. Раундовое преобразование

Выполним расширение блока R_0 в соответствии с перестановкой P-блока расширения:

$P_e =$ 32 1 2 3 4 5 4 5 \\
6 7 8 9 8 9 10 11 \\
12 13 12 13 14 15 16 17 \\
16 17 18 19 20 21 20 21 \\
22 23 24 25 24 25 26 27 \\
28 29 28 29 30 31 32 1

$R_{0e} =$ 10000000 00010111 11111110 10110101 11010111 01010110

Выполним побитовое XOR с раундовым ключом K_1 :

$$R_{0x} = R_{0e} \mathbf{xor} K_1 =$$

100000 000011 101100 010010 111000 011001 111010 010001

Выполним преобразования S-блоков в соответствии с таблицами подстановок S-блоков.

1. $R_{S1} = 1\mathbf{00000}$; $y = 2$; $x = 0$; $S_1 = 4 = \mathbf{0100}$

2. $R_{S2} = 0\mathbf{0001}1$; $y = 1$; $x = 1$; $S_1 = 13 = \mathbf{1101}$

3. $R_{S3} = 1\mathbf{01100}$; $y = 2$; $x = 6$; $S_1 = 3 = \mathbf{0011}$

4. $R_{S4} = 0\mathbf{1001}0$; $y = 0$; $x = 9$; $S_1 = 2 = \mathbf{0010}$

5. $R_{S5} = 1\mathbf{11000}$; $y = 2$; $x = 12$; $S_1 = 6 = \mathbf{0110}$

6. $R_{S6} = 0\mathbf{1100}1$; $y = 1$; $x = 12$; $S_1 = 0 = \mathbf{0000}$

7. $R_{S7} = 1\mathbf{1101}0$; $y = 2$; $x = 13$; $S_1 = 5 = \mathbf{0101}$

8. $R_{S8} = 0\mathbf{1000}1$; $y = 1$; $x = 8$; $S_1 = 12 = \mathbf{1100}$

Итого $R_s = 01001101\ 00110010\ 01100000\ 01011100$

Выполним преобразование прямого P-блока в соответствии с таблицей перестановок прямого P-блока

$$\begin{array}{l} P_s = \begin{array}{cccccccc} 16 & 7 & 20 & 21 & 29 & 12 & 27 & 17 \backslash \\ 1 & 15 & 23 & 26 & 5 & 18 & 31 & 10 \backslash \\ 2 & 8 & 24 & 14 & 32 & 27 & 3 & 8 \backslash \\ 19 & 13 & 30 & 6 & 22 & 11 & 4 & 25 \end{array} \end{array}$$

Итого $f(K_1, R_0) = 00001110\ 01011100\ 11000000\ 10110100$

Для получения второго блока первого раунда сложим по модулю 2 результат раундовой функции f с L_0 :

$$R_1 = L_0 \mathbf{xor} f(K_1, R_0) = \mathbf{11110001\ 11001100\ 00110110\ 11101110}$$

$$L_1 = R_0 = \mathbf{00000000\ 11111111\ 01101110\ 11101011}$$

1.2 Преобразования CrypTool

1.2.1 Раундовый ключ

В разделе PC1 выполняется начальная перестановка ключа (рис. 1)

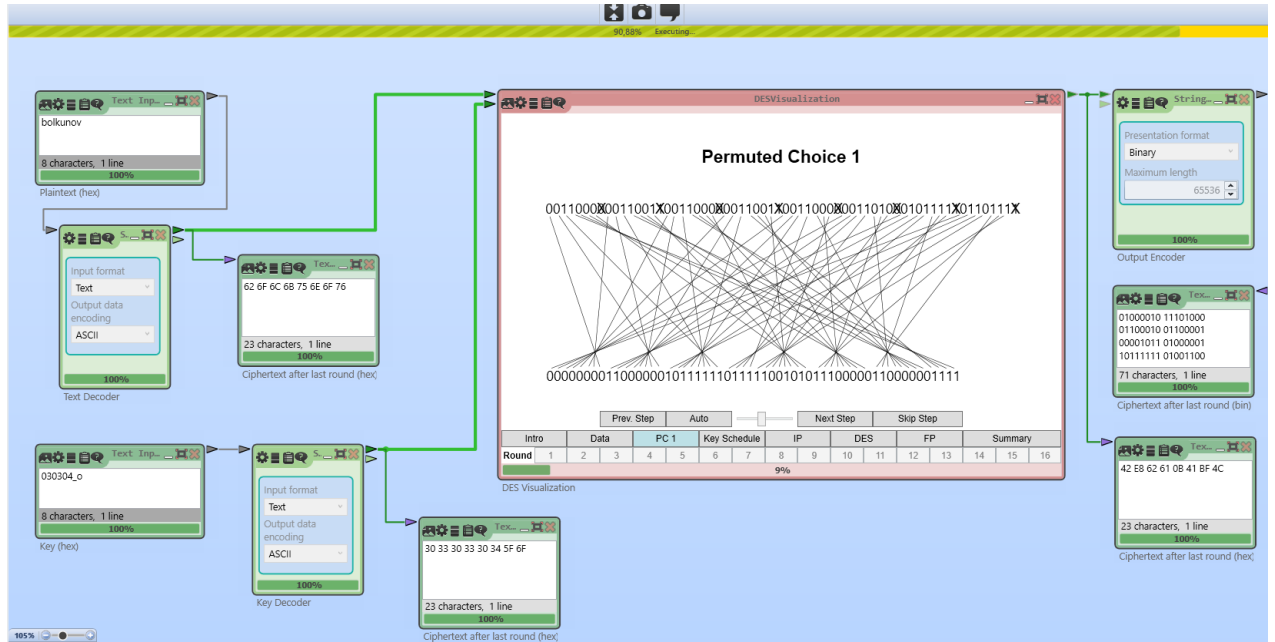


Рисунок 1: начальная перестановка ключа

Программа вычислила следующие половины ключа (рис 2):

$C_0 = 00000000 \ 11000000 \ 10111111 \ 0111$

$D_0 = 11001010 \ 11100000 \ 11000000 \ 1111$

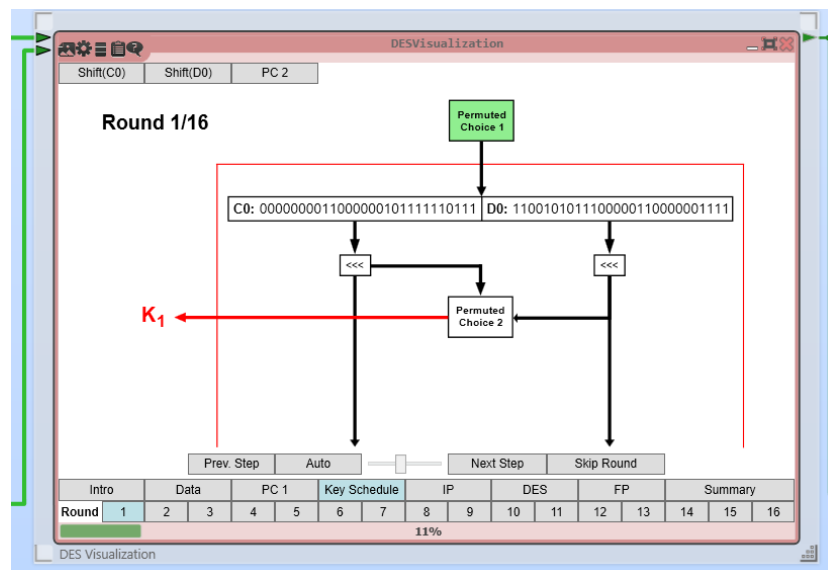


Рисунок 2: вычислены начальные половины ключа

Далее программа вычисляет циклические сдвиги для C_0 и D_0 (рис. 3-4), получая следующие значения:

$C_{s1} = 00000001\ 10000001\ 01111110\ 1110$

$D_{s1} = 10010101\ 11000001\ 10000001\ 1111$

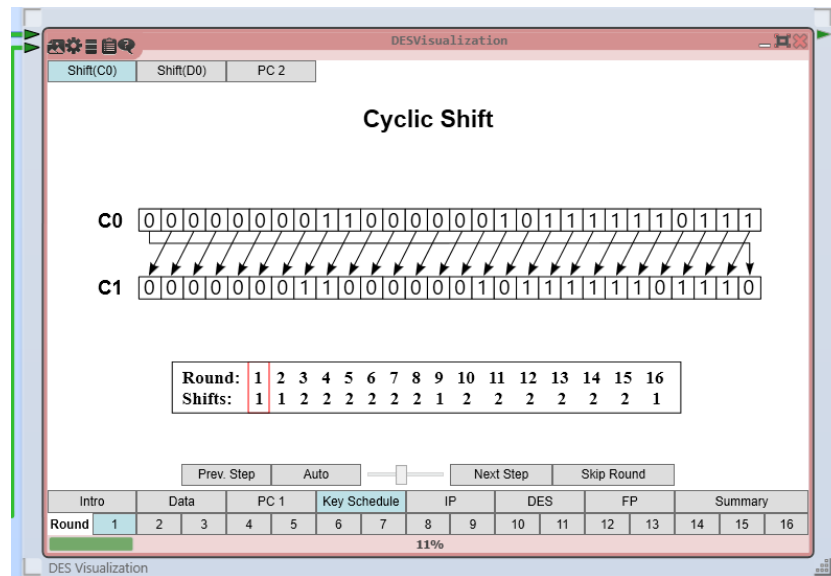


Рисунок 3: циклический сдвиг C_0

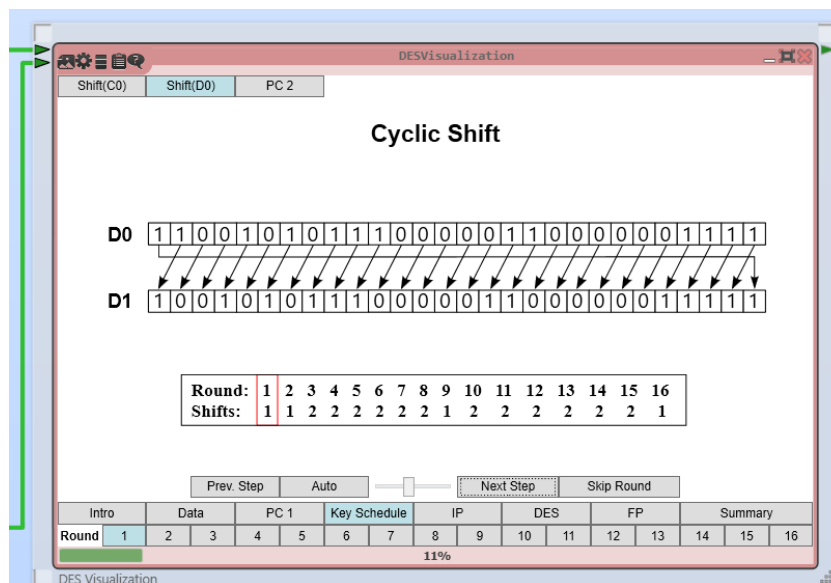


Рисунок 4: Циклический сдвиг D_0

После чего программа применяет перестановку (Р-блок сжатия), объединяя половины ключа (рис. 5)

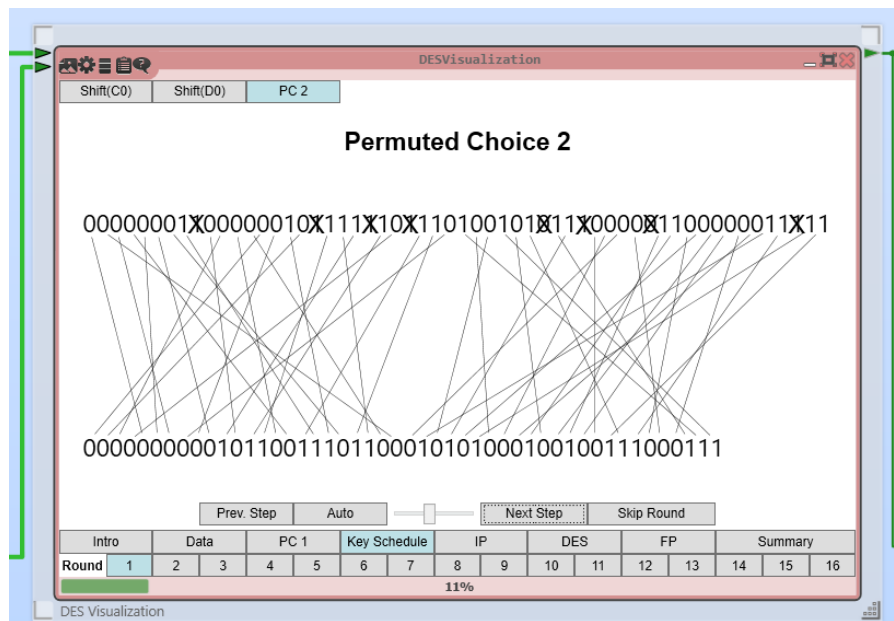


Рисунок 5: работа Р-блока сжатия

Итого программа собирает ключ для первого раунда (рис. 6):

$K_1 = 00000000\ 00101100\ 11101100\ 01010100\ 01001001\ 11000111$

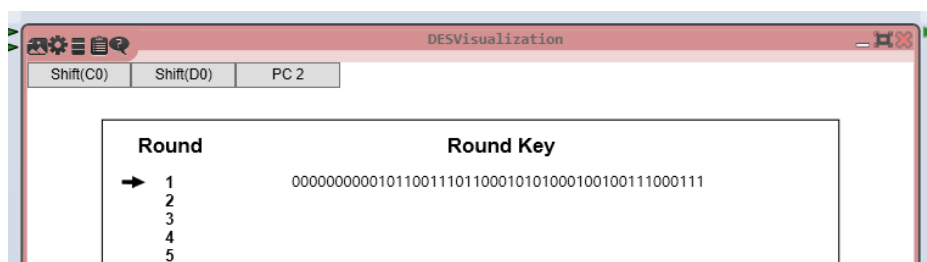


Рисунок 6: ключ первого раунда

1.2.2 Начальное преобразование

Программой было выполнено начальное преобразование блока сообщения (рис. 7-8).

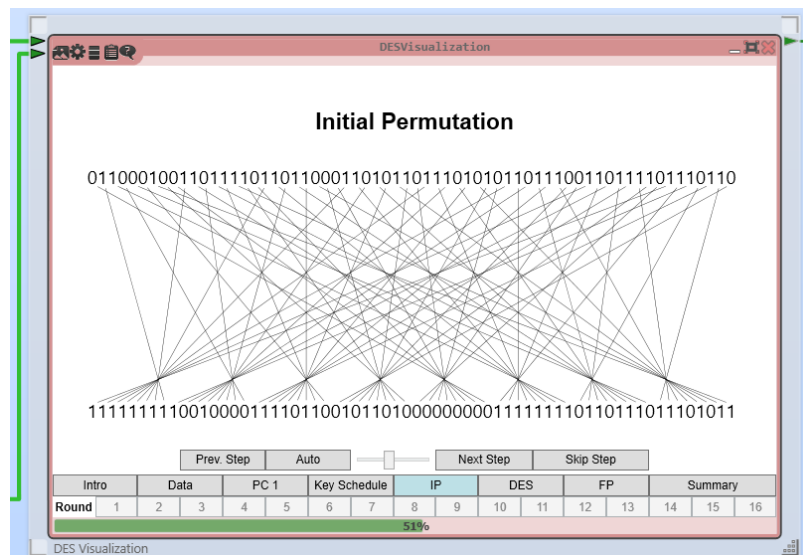


Рисунок 7: начальная перестановка (IP)

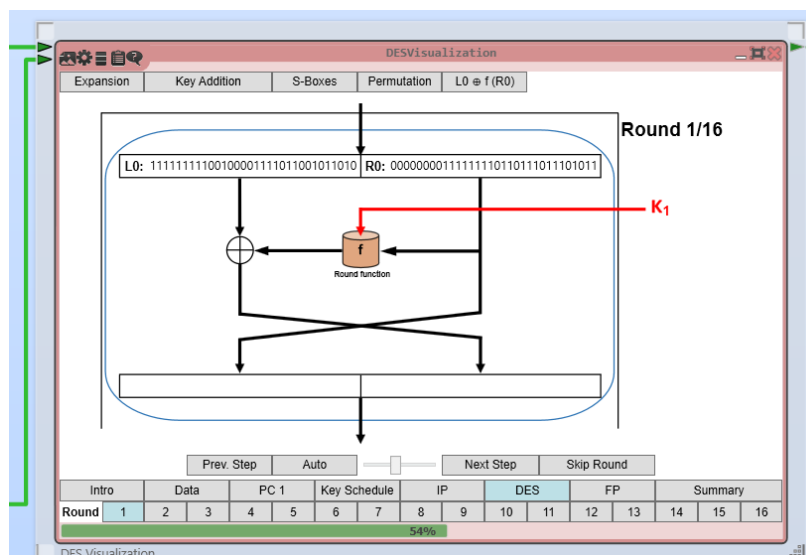


Рисунок 8: начальные половины блока сообщения

Полученные половины начального блока:

$L_0 = 11111111 \ 10010000 \ 11110110 \ 01011010$

$R_0 = 00000000 \ 11111111 \ 01101110 \ 11101011$

1.2.3 Раундовое преобразование

Программа выполнила начальное расширение блока R_0 (рис. 9)

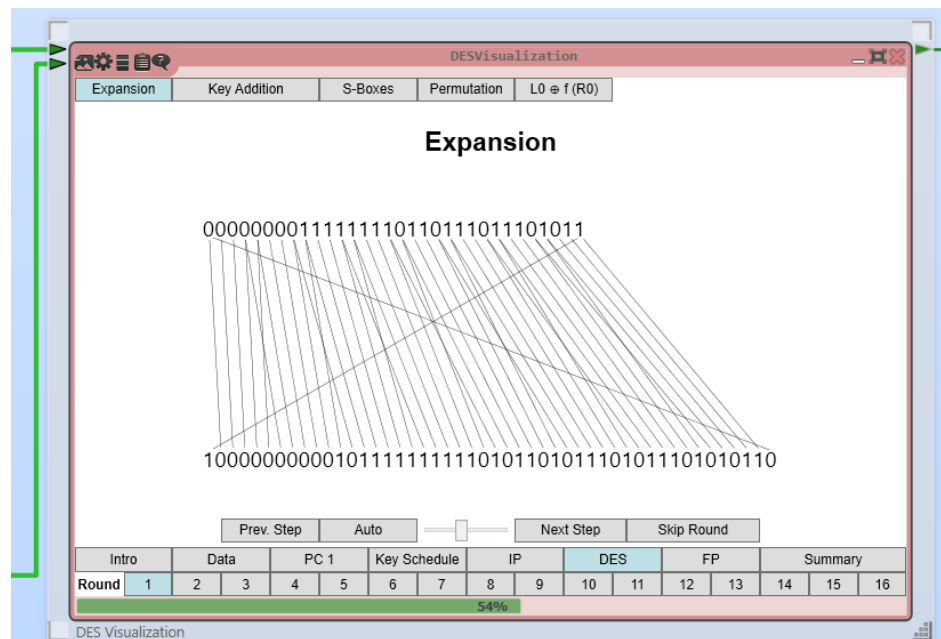


Рисунок 9: работа Р-блока расширения

Получив: $R_{0e} = 10000000 \ 00010111 \ 11111110 \ 10110101 \ 11010111 \ 01010110$

Далее программа выполняет **xor** полученного 48-битного блока R_{0e} с раундовым ключом (рис. 10), получая на выходе:

$R_{0x} = 100000 \ 000011 \ 101100 \ 010010 \ 111000 \ 011001 \ 111010 \ 010001$

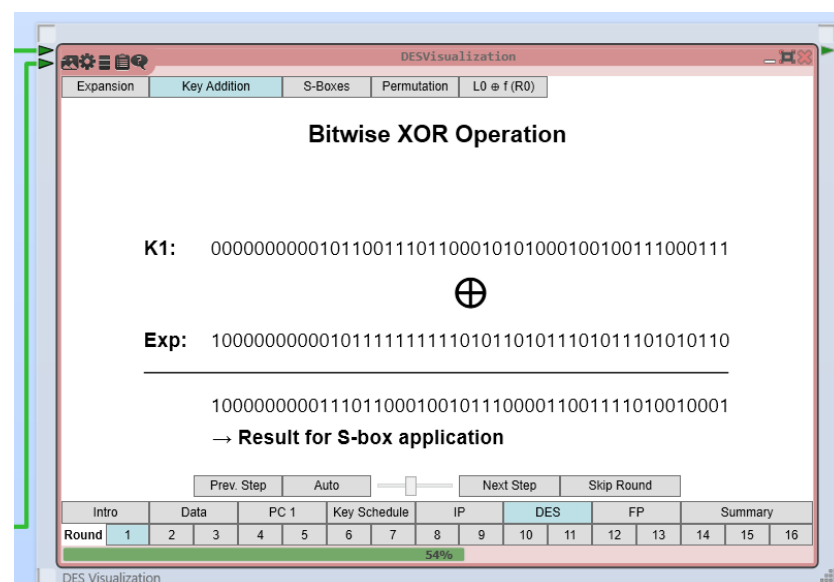


Рисунок 10: xor с раундовым ключом

Далее программа выполняет преобразования S-блоков (рис. 11)

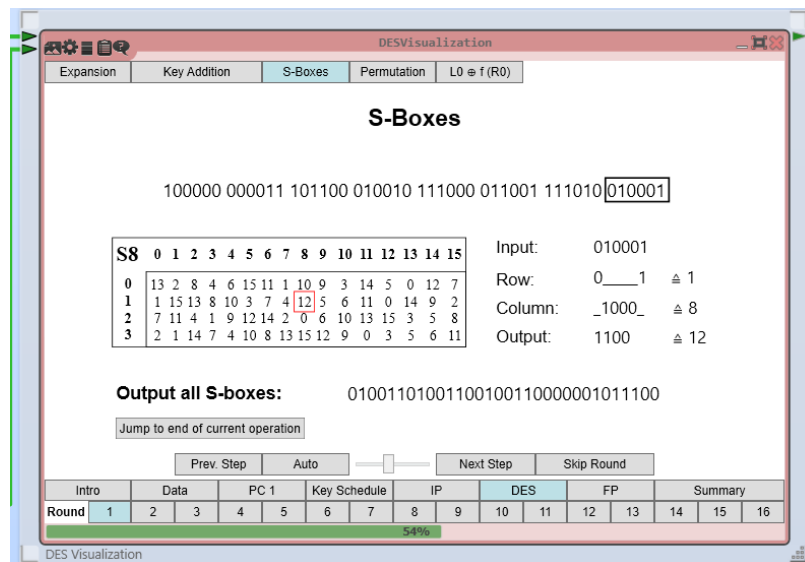


Рисунок 11: преобразования S-блоков

Получая $R_s = \mathbf{01001101\ 00110010\ 01100000\ 01011100}$

После данной операции программа выполняет преобразование прямого Р-блока (рис. 11)

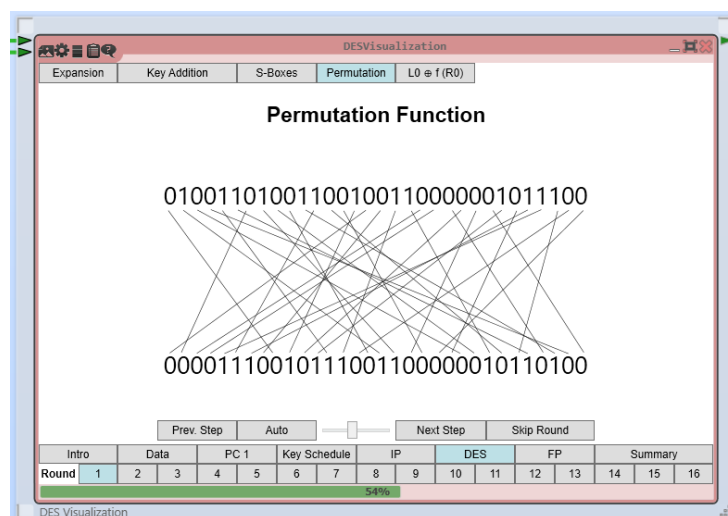


Рисунок 12: преобразование прямого Р-блока

Получая значение $f(K_1, R_0) = \mathbf{00001110\ 01011100\ 11000000\ 10110100}$

Для вычисления правой части блока первого раунда остаётся сложить по модулю 2 результат раундовой функции f с L_0 (рис. 13)

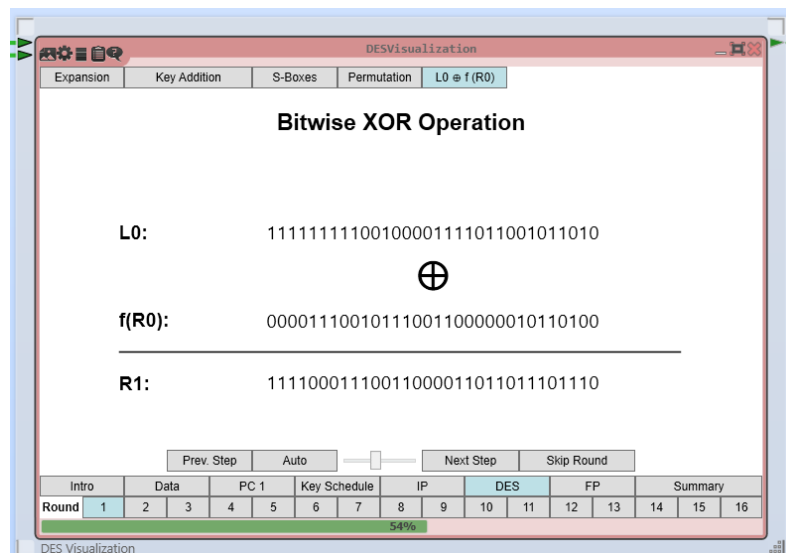


Рисунок 13: вычисление R1

Итого с помощью средств СгупTool 2 был проведён первый раунд шифрования блока DES (рис. 14):

$R_1 = 11110001\ 11001100\ 00110110\ 11101110$

$L_1 = 00000000\ 11111111\ 01101110\ 11101011$

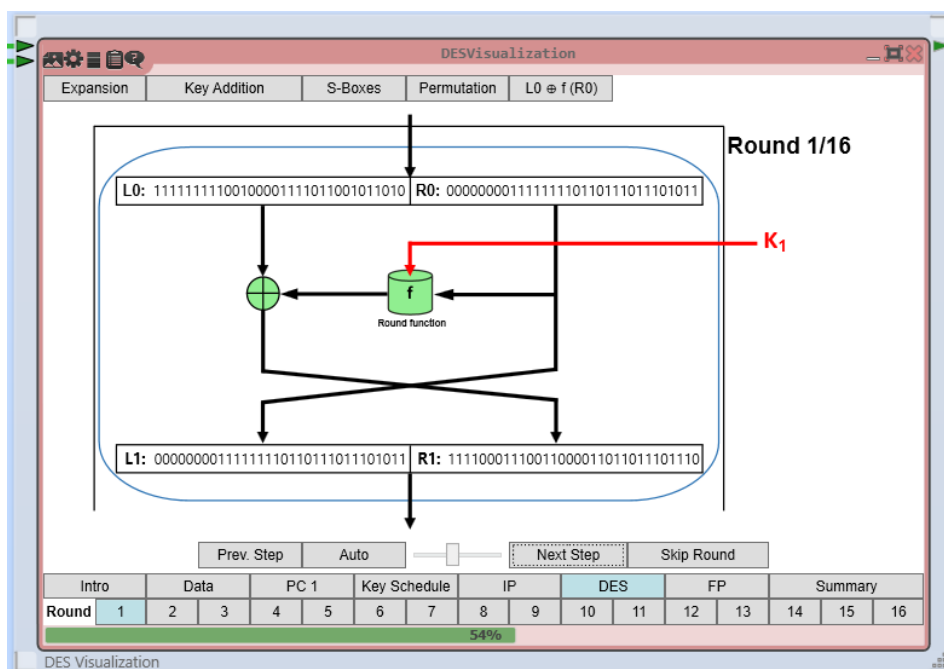


Рисунок 14: результат первого раунда

Результаты вычислений инструмента DES Visualizer полностью совпадают с полученными вручную результатами шифрования.

1.3 Обратное преобразование

Выполним обратное преобразование первого раунда, имея R_1 и L_1 и ключ первого раунда K_1

$R_1 = 11110001\ 11001100\ 00110110\ 11101110$

$L_1 = 00000000\ 11111111\ 01101110\ 11101011$

$K_1 = 00000000\ 00101100\ 11101100\ 01010100\ 01001001\ 11000111$

Очевидно, $R_0 = L_1$ и не требует вычислений.

Вычислим L_0 . Для этого, зная значение блока R_0 найдём значение раундовой функции $f(K_1, R_0)$ (п. 1.1.3.)

$f(K_1, R_0) = 00001110\ 01011100\ 11000000\ 10110100$

Тогда: $R_1 = L_0 \text{ xor } f(K_1, R_0) \rightarrow L_0 = R_1 \text{ xor } f(K_1, R_0)$

Так как $L_0 \text{ xor } f(K_1, R_0) \text{ xor } f(K_1, R_0) = L_0 \text{ xor } 0 = L_0$

Итого $L_0 = 1111\ 1111\ 1001\ 0000\ 1111\ 0110\ 0101\ 1010$, что полностью совпадает с исходными данными.

2. Шифр DES: режимы работы

2.1. ЕСВ

Было подготовлено и зашифровано с помощью средств CrypTool 1 достаточно большое текстовое сообщение в режиме ЕСВ (рис. 15)

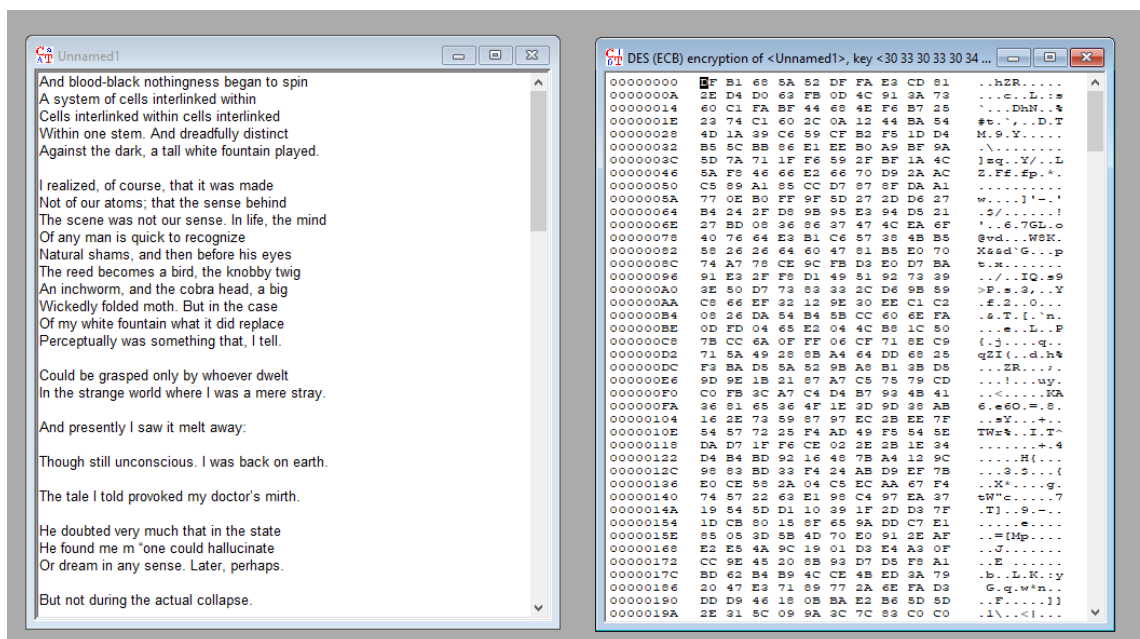


Рисунок 15: DES/ECB

После чего на данный шифр была проведена атака грубой силы, в таблице 1 представлены результаты оценки времени подбора ключа при разном количестве известных байтов ключа.

Таблица 1: результаты криптоанализа DES/ECB

Н известных байтов	Оценка времени взлома
0	$1.6 * 10^4$ лет
1	$1.2 * 10^2$ лет
2	≈ 360 дней
3	2.8 дней
4	33 минуты
5	15 секунд
6	\approx мгновенно
7	\approx мгновенно

2.2. CBC

Аналогичным образом исходный текст был зашифрован в режиме CBC (рис. 16)

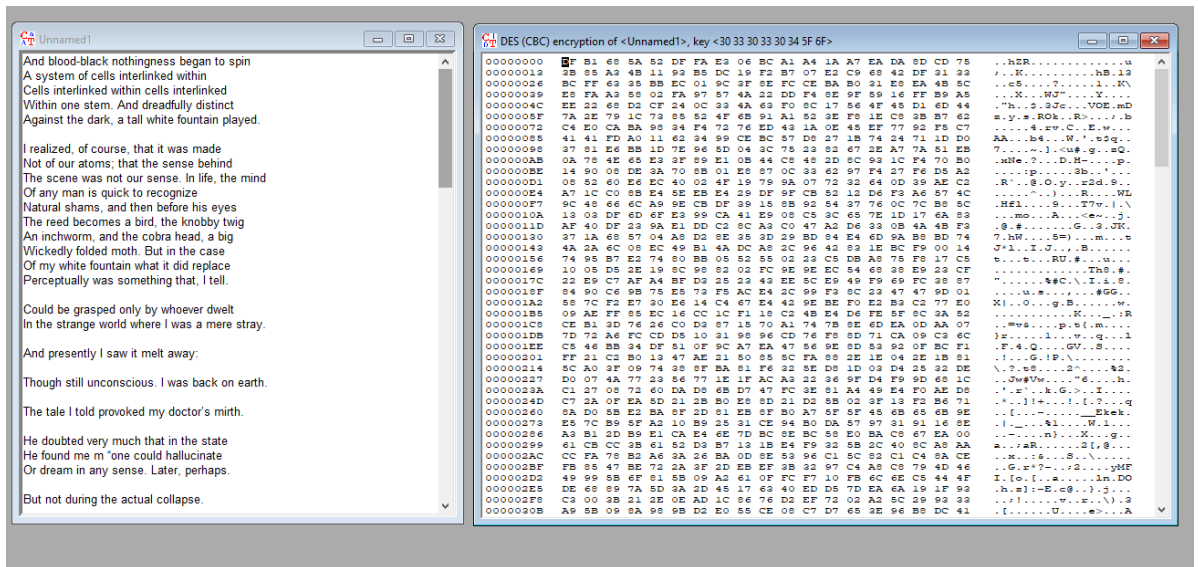


Рисунок 16: DES/CBC

После чего средствами СтурTool 1 был проведён криптоанализ для оценки времени подбора ключа при разных количествах известных байтов ключа, результаты представлены в таблице 2.

Таблица 2: результаты криптоанализа DES/CBC

Н известных байтов	Оценка времени взлома
0	$2.6 * 10^4$ лет
1	$2 * 10^2$ лет
2	1.6 лет
3	4.6 дней
4	52 минуты
5	24 секунд
6	≈ мгновенно
7	≈ мгновенно

Можно заметить, что в большинстве случаев атака на шифр DES в режиме CBC занимает больше времени, происходит это за счёт большей энтропии (битовые последовательности более хаотичны).

3. Модификация 3-DES

Для определения версии шифра 3-DES используемого в среде CrypTool 2 были вручную построены следующие схемы шифрования 3-DES разными способами (EEE и EDE). Для 24-ёх и 16-ти байтного ключа схемы определения версии представлены соответственно на рисунках 17 и 18.

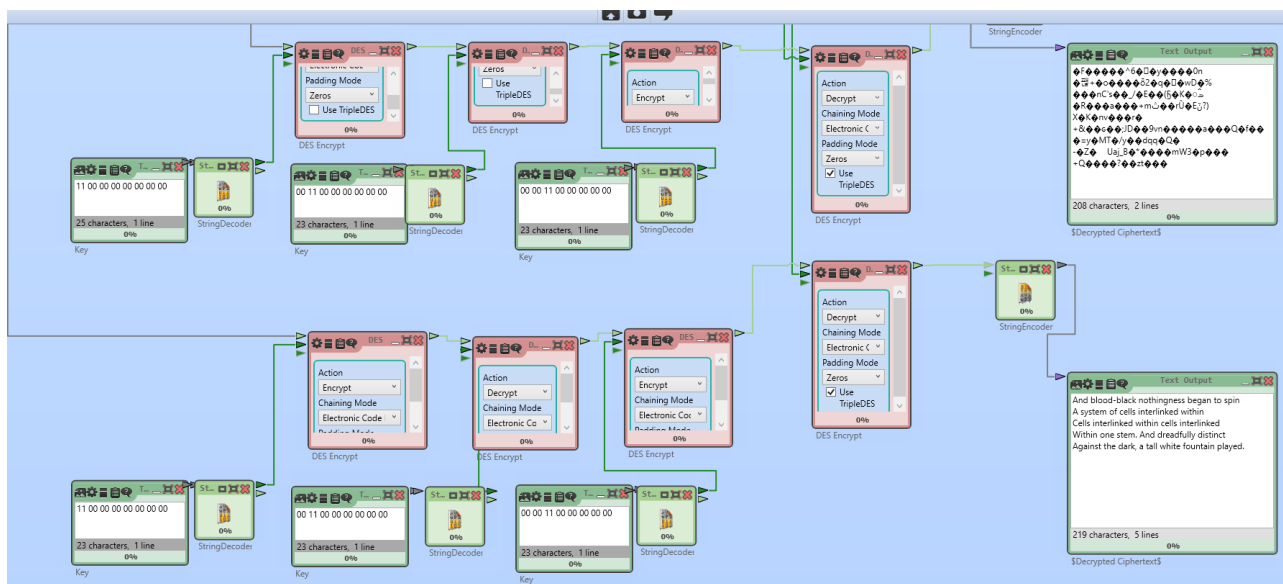


Рисунок 17: схема определения версии 3-DES для 24-ёх байтного ключа

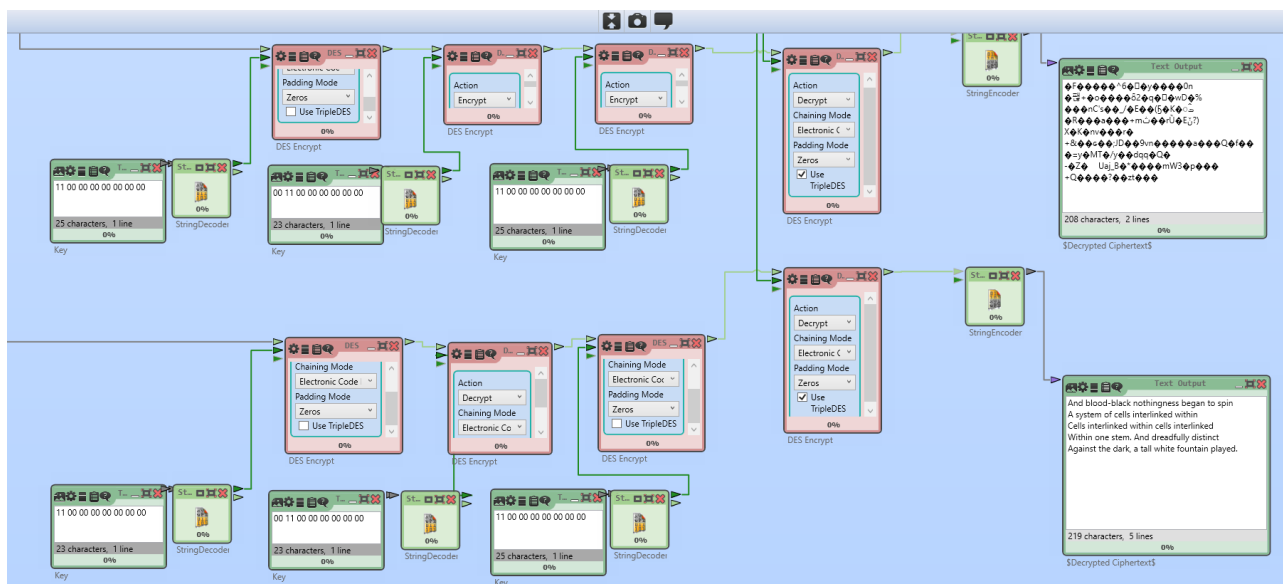


Рисунок 18: схема определения версии 3-DES для 16-ти байтного ключа

Как можно заметить сообщение зашифрованное DES-EDE3 и DES-EDE2 успешно расшифровалось стандартным инструментом расшифровки 3DES, что свидетельствует о том, что в СrypTool 2 используются данные версии шифра.

4. Шифр Магма

Были выбраны следующие исходные данные:

- Открытый текст $M = \text{“Bolkunov”}$
- Ключ $K = \text{“03030400303040030304003030400303”}$

Соответственно их байтовое представление:

- $M_{16} = 42\ 6F\ 6C\ 6B\ 75\ 6E\ 6F\ 76$
- $K_{16} = \begin{array}{l} 30\ 33\ 30\ 33\ 30\ 34\ 4F\ \backslash \\ 30\ 33\ 30\ 33\ 30\ 34\ 4F\ \backslash \\ 30\ 33\ 30\ 33\ 30\ 34\ 4F\ \backslash \\ 30\ 33\ 30\ 33\ 30\ 34\ 4F\ \backslash \\ 30\ 33\ 30\ 33\ 30 \end{array}$

4.1 Ручные преобразования первого раунда

Разбиваем ключ на 4-ёх-байтовые последовательности и берём первую в соответствии со схемой использования раундовых ключей; и получаем раундовый ключ первого раунда:

$$K_1 = 30\ 33\ 30\ 33$$

Разобьём блок сообщения на две половины:

$$L_0 = 42\ 6F\ 6C\ 6B$$

$$R_0 = 75\ 6E\ 6F\ 76$$

Следующий шаг шифра: сложение R_0 с раундовым ключом:

$$R_{0+} = R_0 + K_1 \bmod 2^{32} = A5\ A1\ 9F\ A9$$

Далее осуществляем перестановки S-блоков в соответствии с таблицей S-блоков (рис. 19)

Номер S-блока	Значение															
	0	1	2	3	4	5	6	7	8	9	A	B	C	D	E	F
1	1	7	E	D	0	5	8	3	4	F	A	6	9	C	B	2
2	8	E	2	5	6	9	1	C	F	4	B	0	D	A	3	7
3	5	D	F	6	9	2	C	A	B	7	8	1	4	3	E	0
4	7	F	5	A	8	1	6	D	0	9	3	E	B	4	2	C
5	C	8	2	1	D	4	F	6	7	0	A	5	3	E	9	B
6	B	3	5	8	2	F	A	D	E	1	7	4	C	9	6	0
7	6	8	2	3	9	A	5	C	1	E	4	7	B	D	0	F
8	C	4	6	2	A	5	B	9	E	8	D	7	0	3	F	1

Рисунок 19: S-блоки магмы

1. $A \rightarrow A = 0001$
2. $5 \rightarrow 9 = 1101$
3. $A \rightarrow 8 = 1100$
4. $1 \rightarrow F = 0111$
5. $9 \rightarrow 0 = 0100$
6. $F \rightarrow 0 = 1110$
7. $A \rightarrow 4 = 0001$
8. $9 \rightarrow 8 = 0010$

Тогда $R_{0s} = \mathbf{A9\ 8F\ 00\ 48}$

Следующим шагом осуществляем циклический сдвиг влево на 11 бит:

$$\begin{aligned}
 R_{0L} &= 1010\ 1001\ 1000\ 1111\ 0000\ 0000\ 0100\ 1000 \ll 11 \\
 &= 0111\ 1000\ 0000\ 0010\ 0100\ 0101\ 0100\ 1100 \\
 &= \mathbf{78\ 02\ 45\ 4C}
 \end{aligned}$$

Чтобы получить R_1 остаётся только применить **xor** к полученному на предыдущем шаге R_{0L} с L_0 :

$$R_1 = R_{0L} \text{ xor } L_0 = 78\ 02\ 45\ 4C \text{ xor } 42\ 6F\ 6C\ 6B = \mathbf{3A\ 6D\ 29\ 27}$$

$$L_1 = R_0 = \mathbf{75\ 6E\ 6F\ 76}$$

4.2 Преобразования LitoreK

В программу Литорея были введены идентичные исходные данные (рис. 20)

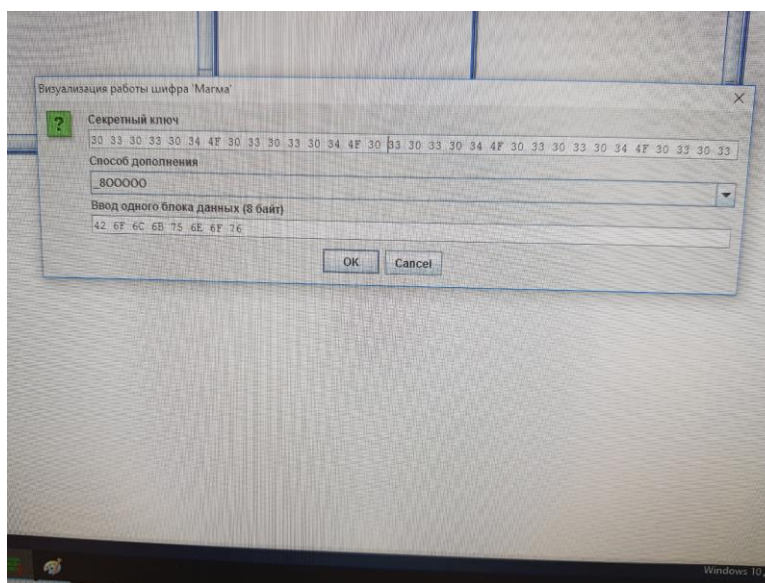


Рисунок 20: ввод исходных данных Магма

На рисунке 21 представлены результаты работы программы на первом раунде. Получены следующие данные:

$$\text{Раундовый ключ } K_1 = \mathbf{30\ 33\ 30\ 33}$$

$$\text{Субблоки: } L_0 = 42\ 6F\ 6C\ 6B ; R_0 = \mathbf{75\ 6E\ 6F\ 76}$$

$$\text{Сложение по модулю 2: } R_{0+} = \mathbf{A5\ A1\ 9F\ A9}$$

$$\text{Подстановки s-блоков: } R_{0s} = \mathbf{A9\ 8F\ 00\ 48}$$

$$\text{Циклический сдвиг: } R_{0L} = \mathbf{42\ 6F\ 6C\ 6B^*}$$

$$\text{Сложение xor: } R_1 = \mathbf{3A\ 6D\ 29\ 27}$$

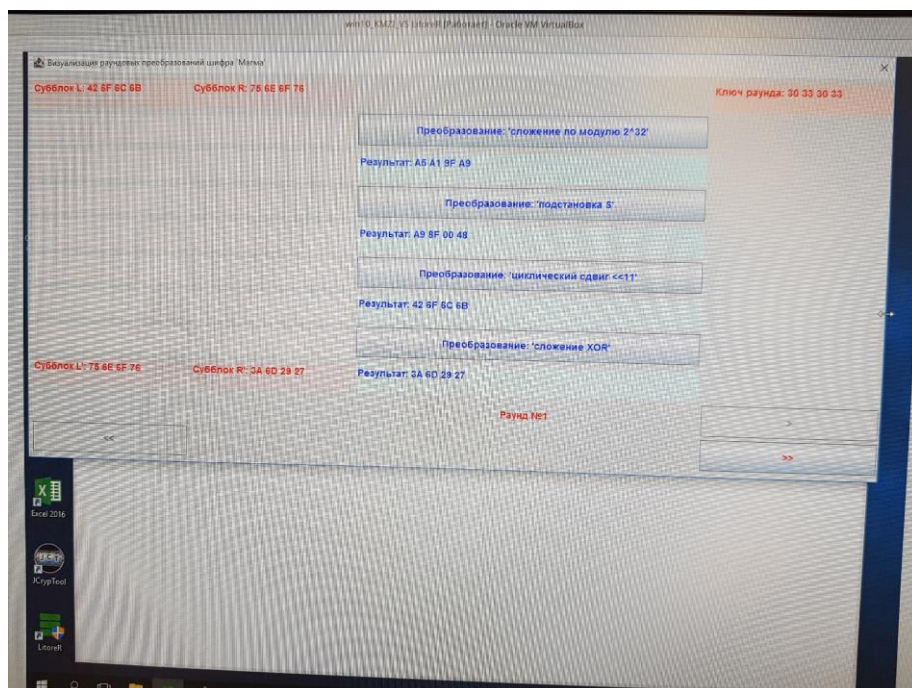


Рисунок 21: работа шифра Магма на первом раунде

Полученные значения совпадают* с вычисленными вручную.

4.3 Обратное преобразование

Выполним обратное преобразование первого раунда, имея R_1 и L_1 и ключ первого раунда K_1

$$R_1 = 3A\ 6D\ 29\ 27$$

$$L_1 = 75\ 6E\ 6F\ 76$$

$$K_1 = 30\ 33\ 30\ 33$$

Очевидно, $R_0 = L_1$ и не требует вычислений.

Вычислим L_0 . Для этого выполним первые три шага шифрования зная R_0 (пункт 4.1)

$$\text{Сложение по модулю 2: } R_{0+} = \mathbf{A5\ A1\ 9F\ A9}$$

$$\text{Подстановки s-блоков: } R_{0s} = \mathbf{A9\ 8F\ 00\ 48}$$

$$\text{Циклический сдвиг: } R_{0L} = \mathbf{78\ 02\ 45\ 4C}$$

Выполним сложение $R_1 \text{ xor } R_{0L}$ чтобы найти L_0

Так как $R_1 = R_{0L} \text{ xor } L_0 \rightarrow L_0 \text{ xor } R_{0L} \text{ xor } R_{0L} = L_0 = R_1 \text{ xor } R_{0L}$

$L_0 = 3A\ 6D\ 29\ 27 \text{ xor } 78\ 02\ 45\ 4C = \mathbf{42\ 6F\ 6C\ 6B}$

Полученные расшифрованные субблоки полностью совпадают с исходными.

5. Шифр Магма: режимы работы

Было подготовлено следующее изображение, содержащие буквы и цифры в формате bmp (рис. 22):

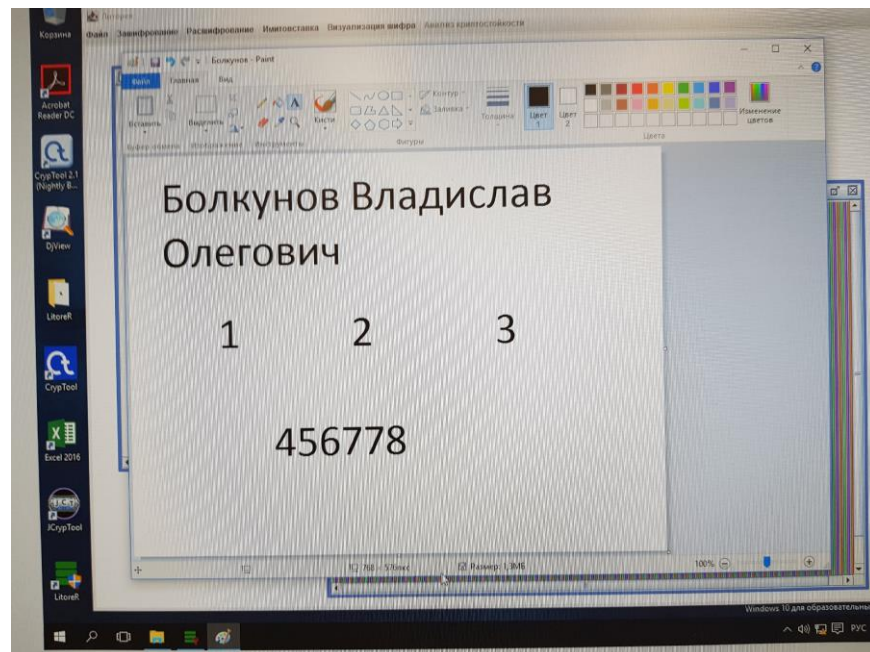


Рисунок 22: исходное изображение

5.1 Режим простой замены

Исходное изображение было зашифровано в программе Литорея с использованием режима простой замены (рис. 23)

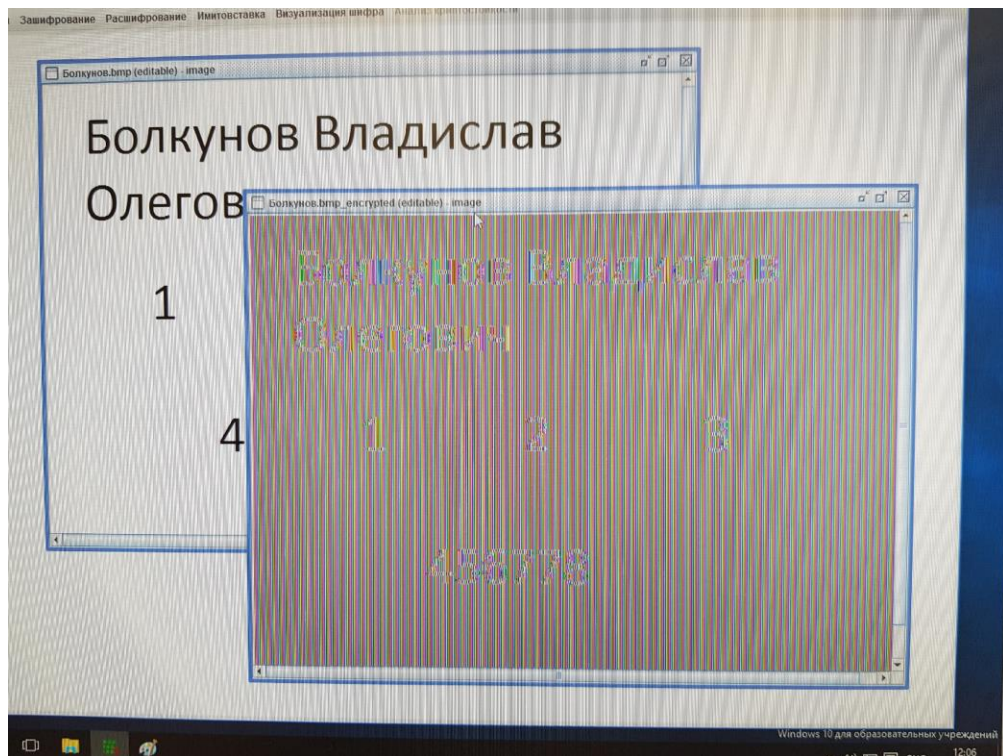


Рисунок 23: магия: режим простой замены

Как можно заметить текст на изображении различим.

Полученное изображение было сжато средствами CrypTool 1.

Результаты сжатия представлены на рисунке 24. Коэффициент сжатия составил 0.2 (20%)

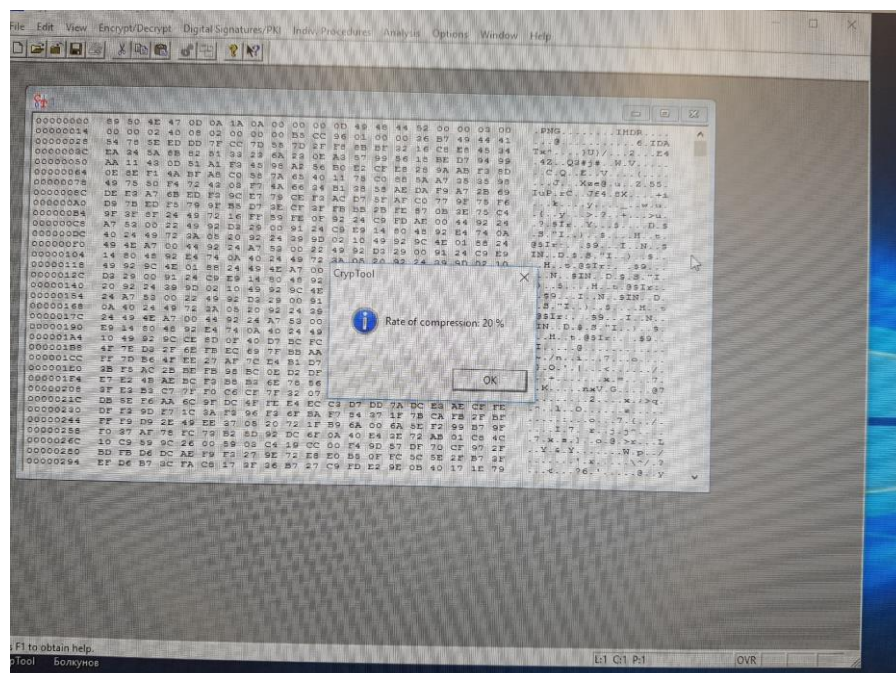


Рисунок 24: сжатие изображения зашифрованного в режиме простой замены

5.2 Режим простой замены с зацеплением

Идентичное изображение было зашифровано в режиме простой замены с зацеплением. Результат шифрования представлен на рисунке 25.

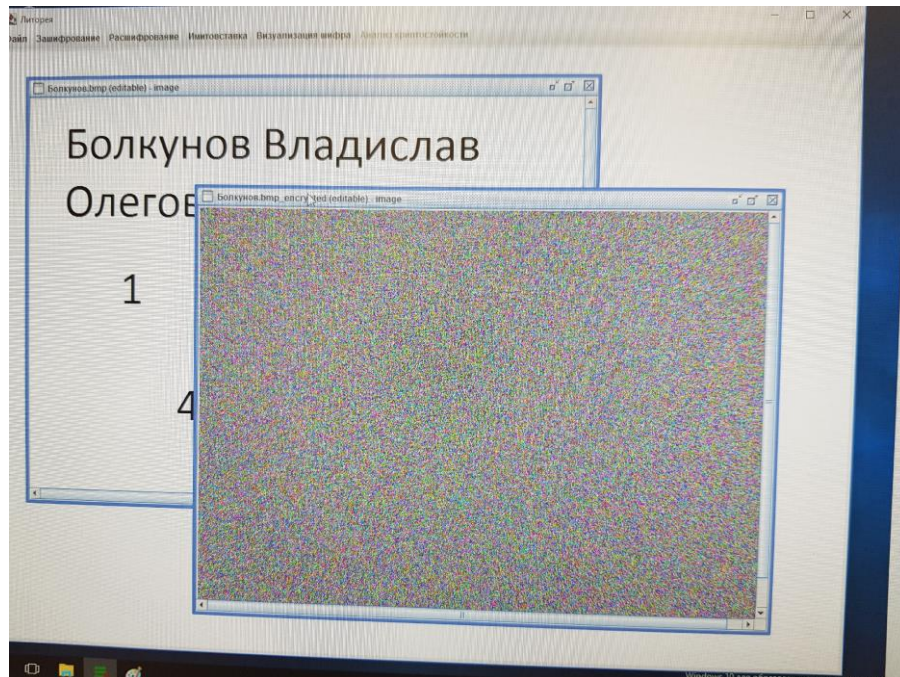


Рисунок 25: шифрование изображения в режиме простой замены с зацеплением

Полученное изображение было аналогично сжато средствами SturTool 1 (рис. 26). В результате коэффициент сжатия составил 0 (0%), что говорит о крайне высокой энтропии зашифрованных данных.

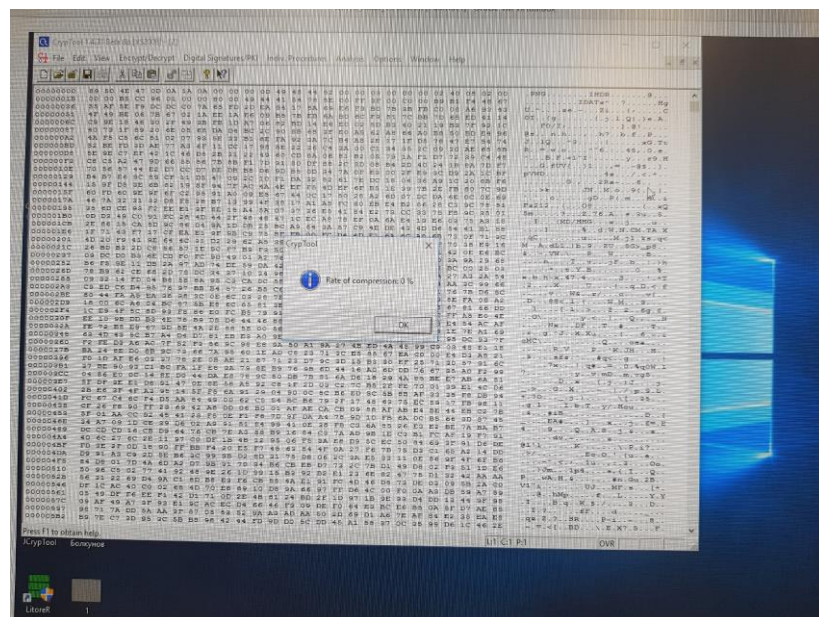


Рисунок 26: сжатие изображения зашифрованного в режиме простой замены с зацеплением

Выводы:

В ходе лабораторной работы были исследованы шифры DES, 3-DES и Магма, и режимы их работы: ECB / CBC и простая замена / простая замена с зацеплением соответственно для DES и Магма.

- Для шифра DES были изучены преобразования в среде CrypTool 2. Результаты работы шифра на первом раунде были успешно сопоставлены с ручными вычислениями результатов первого раунда шифрования.
- На основе выбранного текста была изучена работа режимов шифра DES: ECB и CBC в среде CrypTool. Для результатов шифрования была проведена оценка атаки грубой силы средствами программы CrypTool. В среднем оценка времени атаки оказалась больше для режима CBC, что объясняется значительно более высокой энтропией по сравнению с режимом ECB.
- В среде CrypTool 2 была разработана схема для экспериментального определения версии шифра 3-DES: вручную были созданы 4 версии данного шифра (EEE2, EDE2, EEE3 и EDE3); результаты их шифрования были сопоставлены со встроенным шифром 3-DES. По итогам эксперимента было выявлено что в данной программе используется версия EDE2 и EDE3 для 16-байтового и для 24-байтового ключа соответственно.
- Для шифра Магма были изучены преобразования в программе Литорея. Результаты работы шифра на первом раунде были успешно сопоставлены с самостоятельными вычислениями значений первого раунда.

- В программе Литорея были исследованы режимы работы шифра магма. Было подготовлено изображение, содержащее символы, после чего зашифровано в режимах простой замены и простой замены с зацеплением. После шифрования изображения были сжаты средствами программы CrypTool. В результате степень сжатия файла, зашифрованного в режиме простой замены, оказалась значительно выше, чем для файла, зашифрованного в режиме простой замены с зацеплением, также в случае простой замены символы на изображении были достаточно хорошо различимы, в отличие от режима простой замены с зацеплением; что говорит о значительно более высокой энтропии в данных после шифрования в режиме простой замены с зацеплением по сравнению с режимом простой замены.

ПРИЛОЖЕНИЕ А. ПРИМЕЧАНИЯ.

* - в программе Литорея некорректно отображается результат циклического сдвига (вместо него показывается левый субблок L_0).